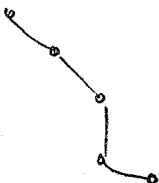


III Periodic Event Scheduling und Taktfahrplanoptimierung

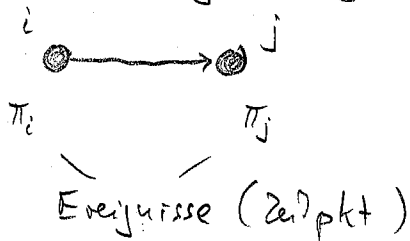
§9 Das Periodic Event Scheduling Problem (PESP)

Motivation aus Taktfahrplanung

- haben Linien  = Folge von Stationen
- Suchen
Ankunft und Abfahrzeiten an - Bahnhöfen
- anderen wichtigen Punkten
- so dass zeitliche Nebenbedingungen eingehalten werden
- der Fahrplan sich periodisch wiederholt
- eine Zielkt. minimiert wird (z.B. die Umschleifzeit)
über alle Passagurstrome

9.1 Kern des mathematischen Modells = PESP

Abschnitte entlang einer gerichteten Linie = Kanten eines Digraphen

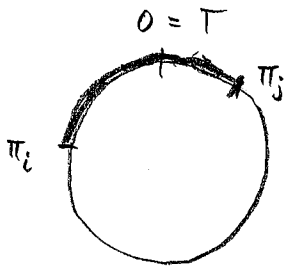


zeitliche Bedingungen an Zeitspanne
zwischen π_i und π_j

$$l_{ij} \leq \pi_j - \pi_i + p_{ij} T \leq u_{ij}$$

↑
ganzzahliges Vielfaches
des Taktzeit T

liegt daran, dass sich
die Ereignisse periodisch wiederholen,
d.h. die Zeitachse ist ein Kreis



$$\pi_j - \pi_i + 1 \cdot T \in [l_{ij}, u_{ij}]$$

Graphentheoretisch:

Zulässiges Potenzialproblem, aperiodischer Fall

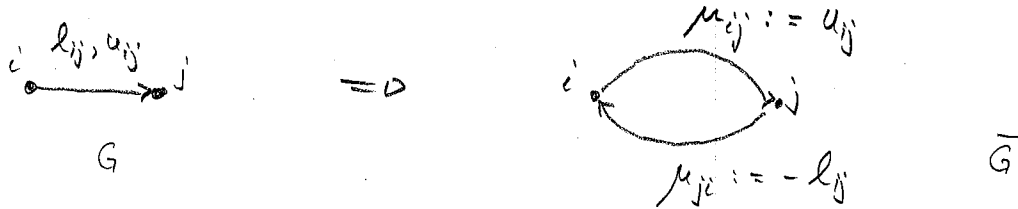
Gegeben: Digraph G

Schranken l_{ij}, u_{ij} für jede Kante (i, j)

Gesucht: Potenzial π mit $\pi_j - \pi_i \in [l_{ij}, u_{ij}]$ "zulässiges Potenzial"

↓

Reduzierbar auf kürzeste Wege - Problem



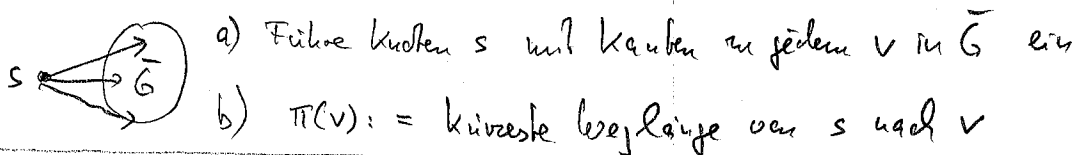
Claim: π ist zulässig $\Leftrightarrow \pi_j - \pi_i \leq \mu_{ij}$ für alle Kanten (i, j) in \bar{G}

(*)

Beweis: π zulässig $\Leftrightarrow l_{ij} \leq \pi_j - \pi_i \leq u_{ij} \quad \forall (i, j)$
 $\Leftrightarrow \pi_j - \pi_i \leq u_{ij} \text{ und } \pi_i - \pi_j \leq -l_{ij} \quad \square$

9.1 SATZ: (1) (*) ist erfüllt $\Leftrightarrow \bar{G}$ hat keine Zyklen negativer Länge

(2) Ist (*) erfüllt, so erhält man ein zulässiges Potenzial π auf folgende Weise:



Zulassiges Potenzialproblem, periodischer Fall zur Takzeit T

periodisches Potenzial mit Takzeit T

ist Zahl π_i für jeden Knoten i

mit $\pi_i \in \{ \pi_i^0, \pi_i^0 \pm T, \pi_i^0 \pm 2T, \dots \}$ und $\pi_i^0 \in \{ 0, 1, \dots, T-1 \}$

zulassiges periodisches Potenzial bzgl T, l_{ij}, u_{ij}

ist ein periodisches Potenzial mit

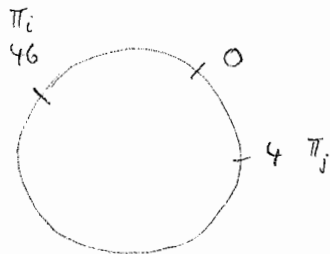
$$l_{ij} \leq \pi_j - \pi_i \leq u_{ij} \text{ für alle Kanten } (i,j)$$

$$\begin{matrix} \downarrow & \searrow \\ \pi_j^0 + k_j \cdot T & \pi_i^0 + k_i \cdot T \end{matrix} \quad k_i, k_j \in \mathbb{N}$$

\Rightarrow Bedingung ist äquivalent zu

$$\boxed{l_{ij} \leq \pi_j^0 - \pi_i^0 + p_{ij} \cdot T \leq u_{ij} \text{ mit } p_{ij} \in \mathbb{Z} \quad \forall (i,j)} \quad (*)$$

Bsp:
T = 60 min



$$\pi_j - \pi_i \in [10, 20]$$

algebraisch

$$\boxed{l \leq \theta^T \pi - p \cdot T \leq u, p \in \mathbb{Z}^A}$$

Schreibweise: $\pi_j - \pi_i \in [l_a, u_a]_T \Leftrightarrow l_a \leq (\pi_j^0 - \pi_i^0) + p_a T \leq u_a$
für ein $p_a \in \mathbb{Z}$

Def: $d \text{ mod } T := \min \{ d + zT \geq 0, z \in \mathbb{Z} \}$

"Modulo Projektion $\pi_i \mapsto \pi_i^0$

$$(*) \Leftrightarrow (\pi_j - \pi_i - l_a) \text{ mod } T \leq u_a - l_a$$

$$\frac{4 - 46 - 10}{8} \text{ mod } 10 \quad \frac{20 - 10}{10}$$

Periodic Event Scheduling Problem PESP

Ges: Digraph D mit Kantenrestriktionen $\Delta_a = [l_a, u_a]$, Taktzeit T

Ges: Fahrplan (relaxiertes periodisches Potential) π ,

d.h. π erfüllt Bed. (*) bzgl T

Beobachtung: Jedes relaxierte Potential ist ^{relaxiert} periodisch!

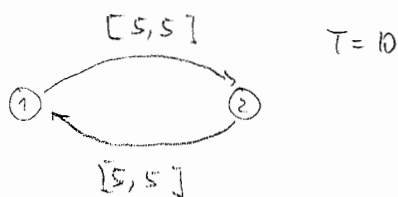
denn: Sei π ^{zul.} Potential bzgl Δ_a

$$\Rightarrow l_a \leq \pi_j - \pi_i \leq u_a \quad \text{für } a: i \rightarrow j$$

$$\Rightarrow l_a \leq (\pi_j^0 - \pi_i^0) + p_a T \leq u_a \quad \text{für } p_a = 0 \in \mathbb{Z}$$

$\Rightarrow \pi$ ist ^{zul.} periodisches Potential \square

Die Umkehrung gilt nicht:



$$\pi = \begin{pmatrix} 0 \\ 5 \end{pmatrix} \text{ erfüllt (*)}$$

\nexists periodisches relaxiertes Potential

Bed. (*) zeigt:

$$\text{zul. periodisches Potential} = \text{zul. Potential} + \text{Periodenoffsets}$$

$$p_a \in \mathbb{Z}, a \in A$$

\uparrow
einfach falls p_a gegeben!

$$l_a \leq \pi_j - \pi_i + p_a T \leq u_a \Leftrightarrow l_a - p_a T \leq \pi_j - \pi_i \leq u_a - p_a T$$

\leftarrow relaxiertes Potentialproblem \square

alternative Formulierung des PEST über

$$\begin{array}{ccc} \text{Spannungen } x_{ij} & = & \text{Potentialdifferenzen } \pi_j - \pi_i \\ & \uparrow & \uparrow \\ & \text{Knotenvariable} & \text{Knotenvariable} \end{array}$$

periodische Spannung = Spannung erzeugt von Potentialdifferenz eines periodischen Potentials π

d.h. $x_{ij} = \pi_j^0 + k_j T - (\pi_i^0 + k_i T)$ für

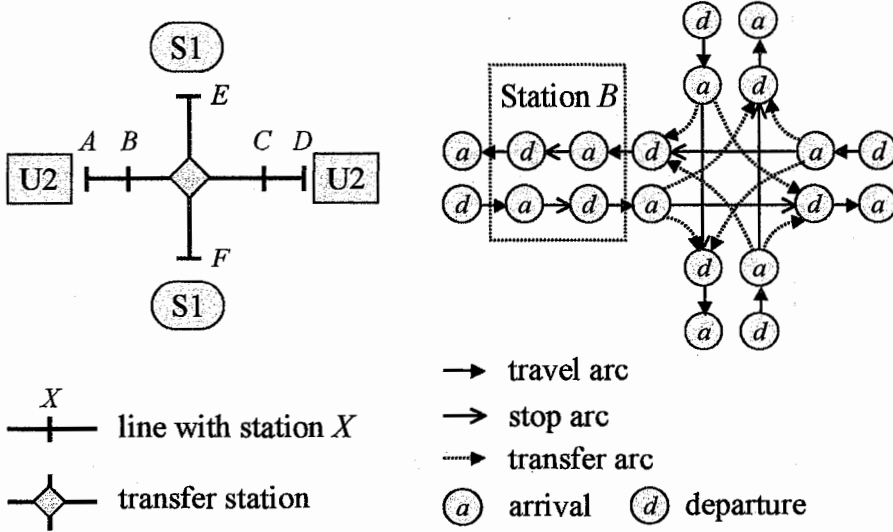
zulässige periodische Spannung x siehe Werte k_i, k_j

$$\Leftrightarrow l_{ij} \leq x_a + p_a T \leq u_{ij} \quad \forall \text{ Kanten } a = (i, j)$$

später mehr dazu, wie man an einem x Vektor erkennt, ob er eine periodische Spannung ist

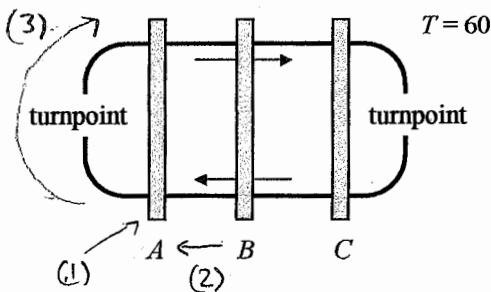
9.2 Modellierungsmöglichkeiten mit dem TESP

Traffic lines and graphs



Example: Temporal conditions on a single line

Beispiel 1



(1) Stopping conditions in A

$$\pi_{\text{dep in } A} - \pi_{\text{arr in } A} \in [2, 4]_T$$

xx:59 arr in A

xx:02 dep in A

(2) Travel condition

$$-\pi_{\text{dep in } B} + \pi_{\text{arr in } A} \in [11, 11]_T$$

xx:48 dep in B

xx:59 arr in A

(3) Turning condition

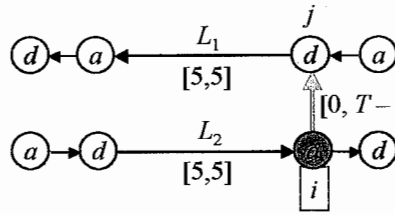
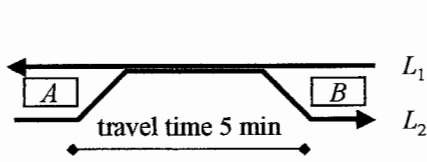
$$\pi_{\text{dep in } A} - \pi_{\text{arr in } A} \in [5, 10]_T$$

xx:02 dep in A

xx:10 arr in A

Eingangsige Streckenabschnitte

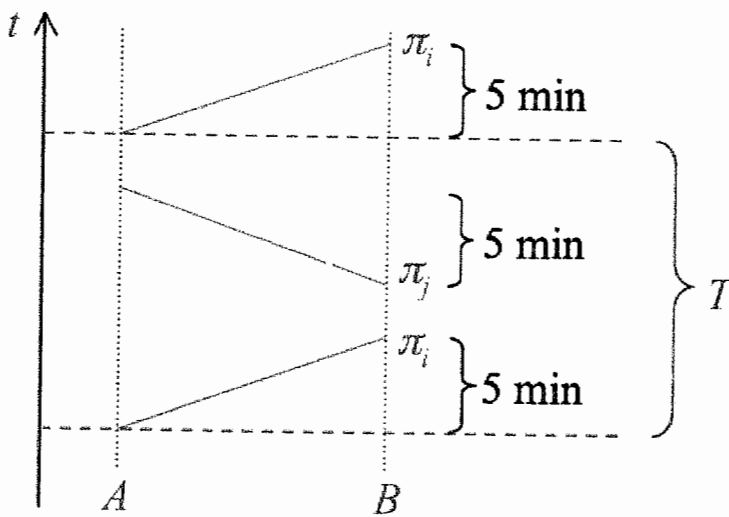
Beispiel 2



← modelliert
Eingangsigkeit

Begründung:

Betrachte Weg-Zeit Diagramm



$\Rightarrow \pi_i + T \geq \pi_j + 2 \cdot 5 \quad (2)$

$\Rightarrow \pi_j \geq \pi_i \quad (1)$

(1) $\Rightarrow 0 \leq \pi_j - \pi_i$ (2) $\Rightarrow \pi_j - \pi_i \leq T - 10$

$\Rightarrow \pi_j - \pi_i \in [0, T-10]_T$

Umkehrung: Sei $\pi_j - \pi_i \in [0, T-10]_T$

(i) π_i, π_j im selben Taktintervall

$0 \leq \pi_i \leq \pi_j < T$

$\Rightarrow \pi_j - \pi_i \geq 0$

(o.B.d.A Taktintervall verschieben, so dass dies gilt)

(ii) π_i in späterem Taktintervall

$0 \leq \pi_j < T \leq \pi_i$

↑

o.B.d.A kleineres
derartiges π_i

(jedes Takt wieder)

Voraus.

$\Rightarrow \pi_j - \pi_i + T \leq T - 10$

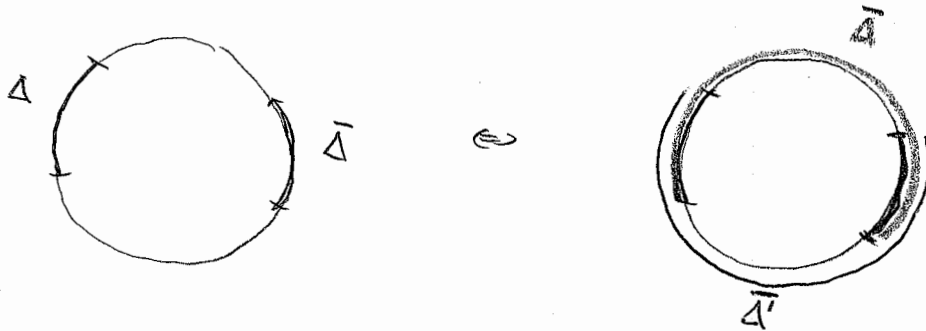
$\Rightarrow \pi_i - \pi_j \geq 10$

\Rightarrow kein Treffen \square

Disjunktive Bedingungen

Beispiel 3

$$\pi_j - \pi_i \in \Delta_T \quad \text{oder} \quad \pi_j - \pi_i \in \Delta'_T$$



$$\pi_j - \pi_i \in \bar{\Delta}_T \quad \text{und} \quad \pi_j - \pi_i \in \bar{\Delta}'_T$$

=> starke Modellierungsmöglichkeiten

Weitere Modellierungsmöglichkeiten:

- Zeit zwischen aufeinanderfolgenden Zügen
- Treffen an bestimmten Bahnhöfen zwecks Umsteigen
- Fixierte Ereignisse (Anschluss an andere Verkehrsmittel)
- # Fahrten (indirekt über Fahrten entlang einer Linie)



alles als zulässiges periodisches Potenzialproblem modellierbar

System von Ungleichungen in Knotenvariablen π_i
 Ungleichungen entsprechen Kanten eines Graphen
 haben Periodizitätsbedingung

Modellierung von Optimierungskriterien

Lineare Zielfunktion $\sum_a w_a \cdot x_a$

(1) gewichtete Summe der Umsteigezeiten

(2) Gesamtfahrzeit entlang Fahrlinien (bei festen Fahrzeiten $x_a \in [t_a, t_a]_T$)
 $\stackrel{!}{=} \# \text{ Fahrzüge}$

(1) und (2) sind gegenläufige Ziele!

daher meist nur (1) oder (2) mit Nebenbedingung an die jeweils andere in Form von PESP-constraints

↓

Man erhält MIP

$$\text{min} \quad \sum_a w_a x_a$$

$$\text{unter} \quad x_a = \pi_j - \pi_i \quad \forall a = (i, j)$$

$$l_a \leq x_a + p_a T \leq u_a \quad \forall a$$

$$0 \leq x_a \leq T-1$$

p_a ganzzahlig, x_a, π_i reell

schon schwer lösbar, bereits bei kleinen Instanzen

2 Instanzen zu MIPLIB beigetragen: timetab1 und timetab2

(10 ICE/IC Züge, 40 Umsteigebeziehungen)

=0 (nach preprocessing) $n = 56$ bzw. 88

$m = 226$ bzw. 381

erst 2009 in Diplomarbeit in ≤ 24 h lösbar mit neuen Schnittalgorithmen
 erst kürzlich in CPLEX lösbar

9.3 Komplexität des PESP

Das aperiodische zulässige Potenzialproblem ist in P
(folgt aus Satz 9.1)

9.2 SATZ: Das periodische zulässige Potenzialproblem ist stark NP-schwer, selbst für festes $T \geq 3$

[Nachjall 96]

Beweis: Reduktion von k-Färbbarkeit von Graphen

Gegeben: ungerichteter Graph $G = (V, E)$

Frage: kann G mit k Farben gefärbt werden?

Betrachte Instanz von k-Färbbarkeit.

Konstruiere PESP-Instanz wie folgt:

$D =$ Digraph, der aus G durch beliebige Orientierung der Kanten von G entsteht

$$a \in A(D) \rightarrow [l_a, u_a] := [1, T-1] \text{ mit } T := k$$

Dann gilt:

π ist zulässiges periodisches Potenzial

$$\Leftrightarrow 1 \leq \pi_j - \pi_i + p_a \cdot T \leq T-1 \quad \forall a$$

$$\Leftrightarrow \pi_i \neq \pi_j \pmod{T} \quad \forall a$$

$$\Leftrightarrow \pi_i \pmod{T} \text{ definiert eine } k\text{-Färbung von } G \quad \square$$

Der Kern der NP-Vollständigkeit ist das Finden der Perioden-Offsets p_a .

Für gegebene p_a ist das Entscheidungsproblem in P

$$\text{da } l_{ij} \leq \pi_j - \pi_i + p_a T \leq u_{ij}$$

$$\Leftrightarrow \underbrace{l_{ij} - p_a T}_{\text{feste Zahl}} \leq \pi_j - \pi_i \leq \underbrace{u_{ij} - p_a T}_{\text{feste Zahl}}$$

feste
Zahl

feste
Zahl

↑

entspricht aperiodischen zulässigen Potenzialproblem

Ebenso ist das MIP leicht, wenn die p_a bekannt sind

Entsprechendes gilt für

MAX-T-PESP

Gegeben: Digraph G mit l_a, u_a für jede Kante a , $T \in \mathbb{N}$

Gesucht: Potenzial π mit

$$l_a \leq \pi_j - \pi_i \leq u_a \quad \forall a = (i, j) \in A'$$

mit $|A'|$ so groß wie möglich

9.3 SATZ: MAX-T-PESP ist für jedes $T \geq 2$
MAXSNP-vollständig

Beweis: Durch L-Reduktion von MAX-2-COLORING \square